

K_1 ○

K_2 ○

K_3 ○

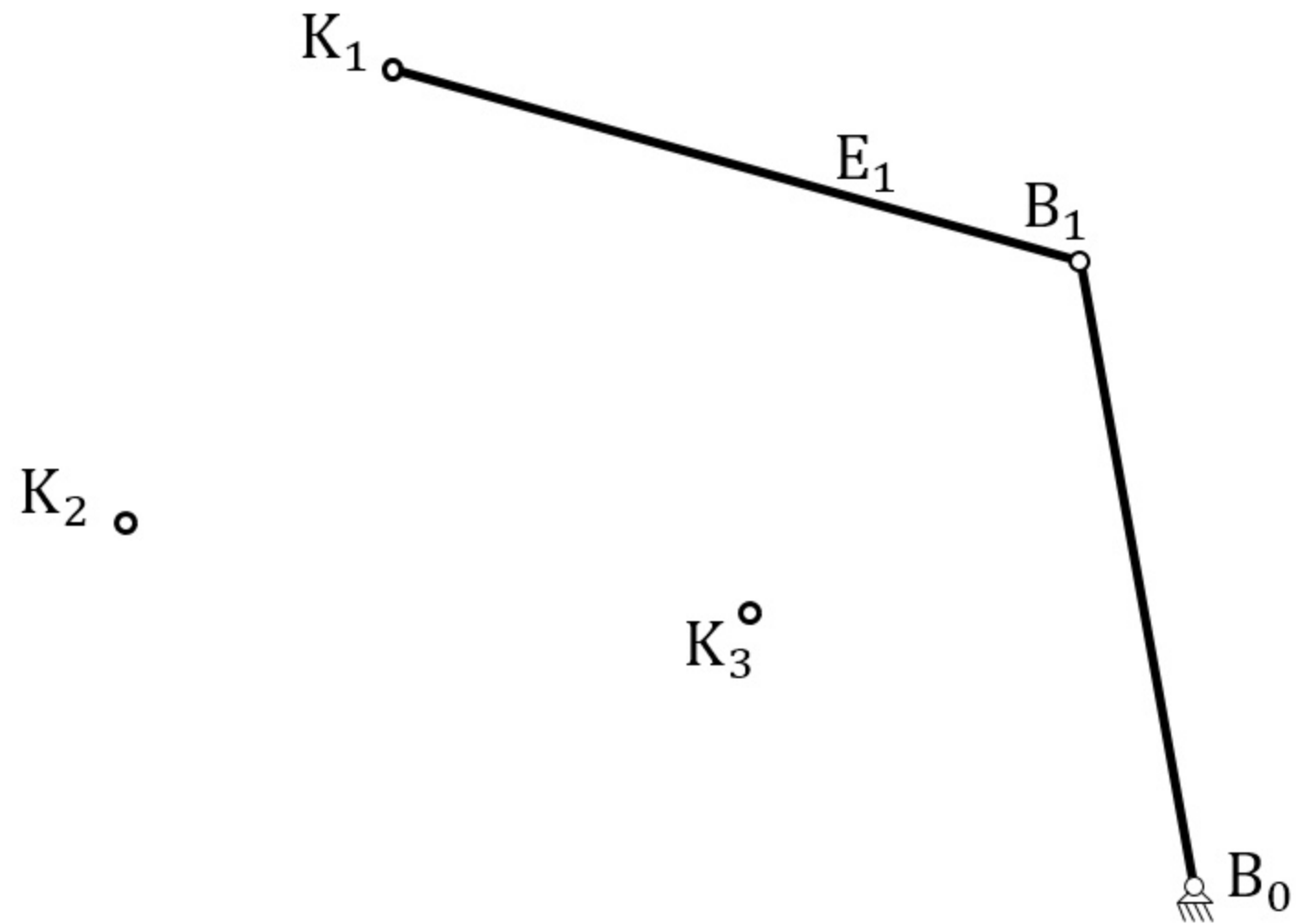


Bild 6.9 Drei-Punktlagen-Synthese mit Vorgabe des gestellfesten Drehpunktes A_0

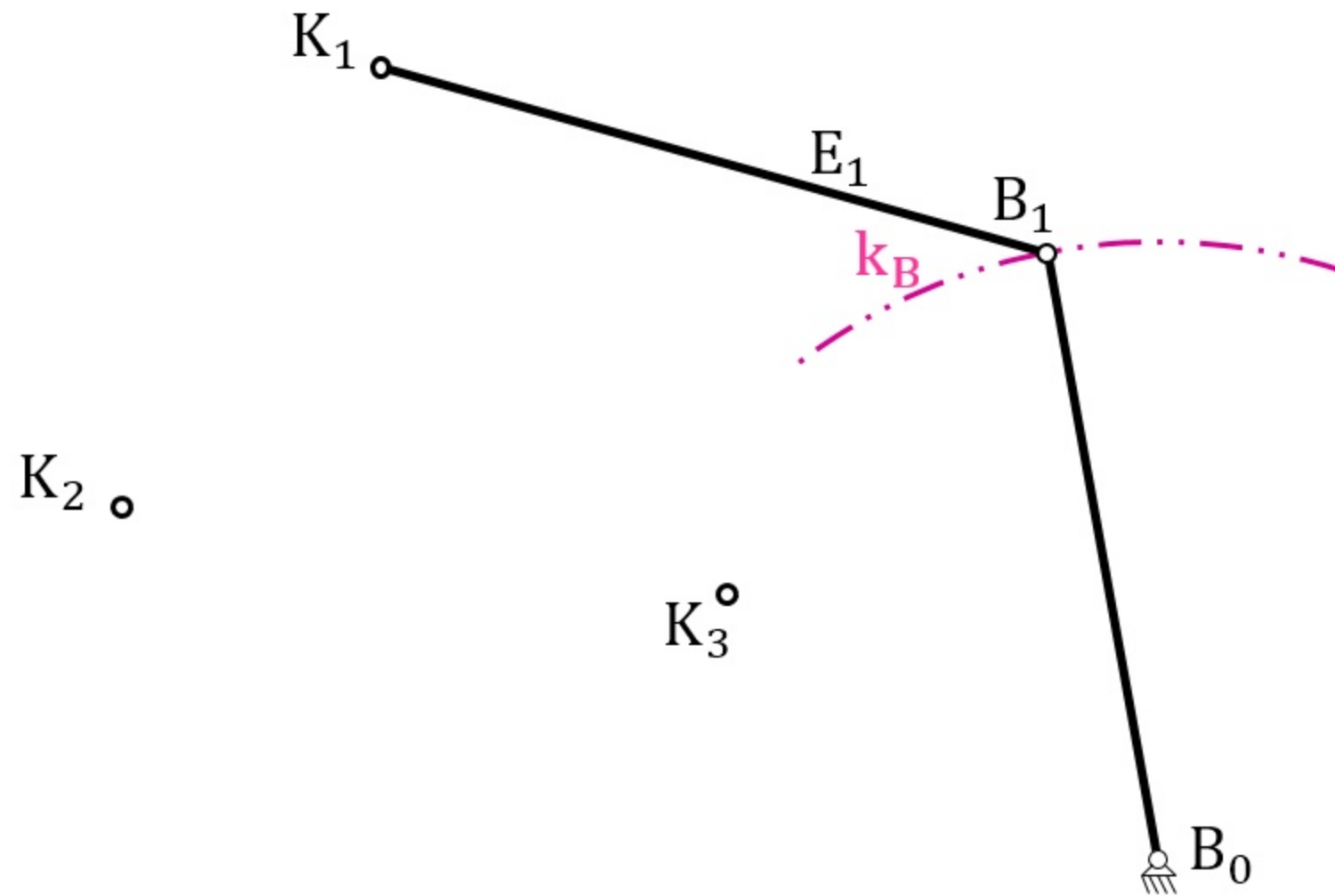


Bild 6.9 Drei-Punktlagen-Synthese mit Vorgabe des gestellfesten Drehpunktes A_0

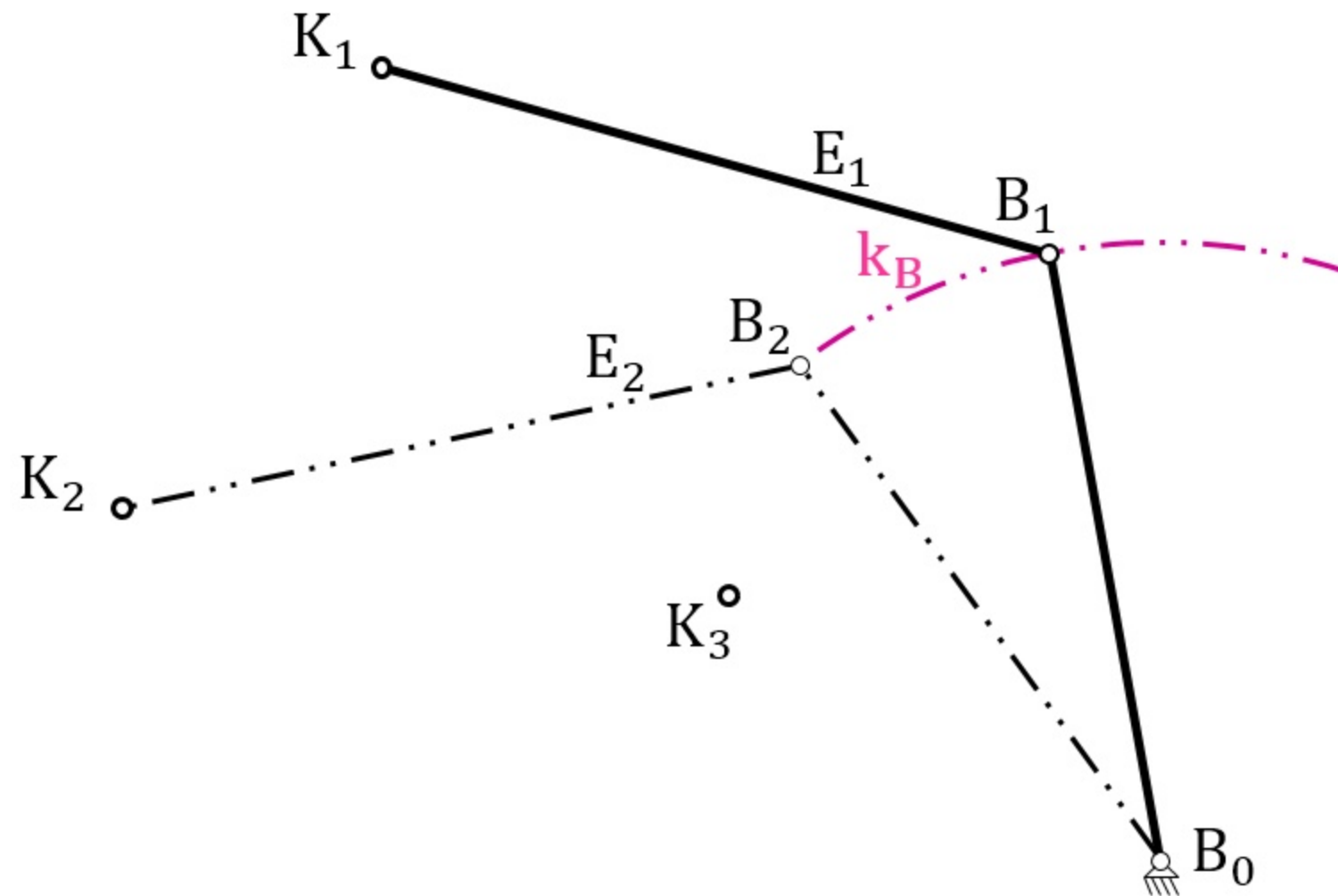


Bild 6.9 Drei-Punktlagen-Synthese mit Vorgabe des gestellfesten Drehpunktes A_0

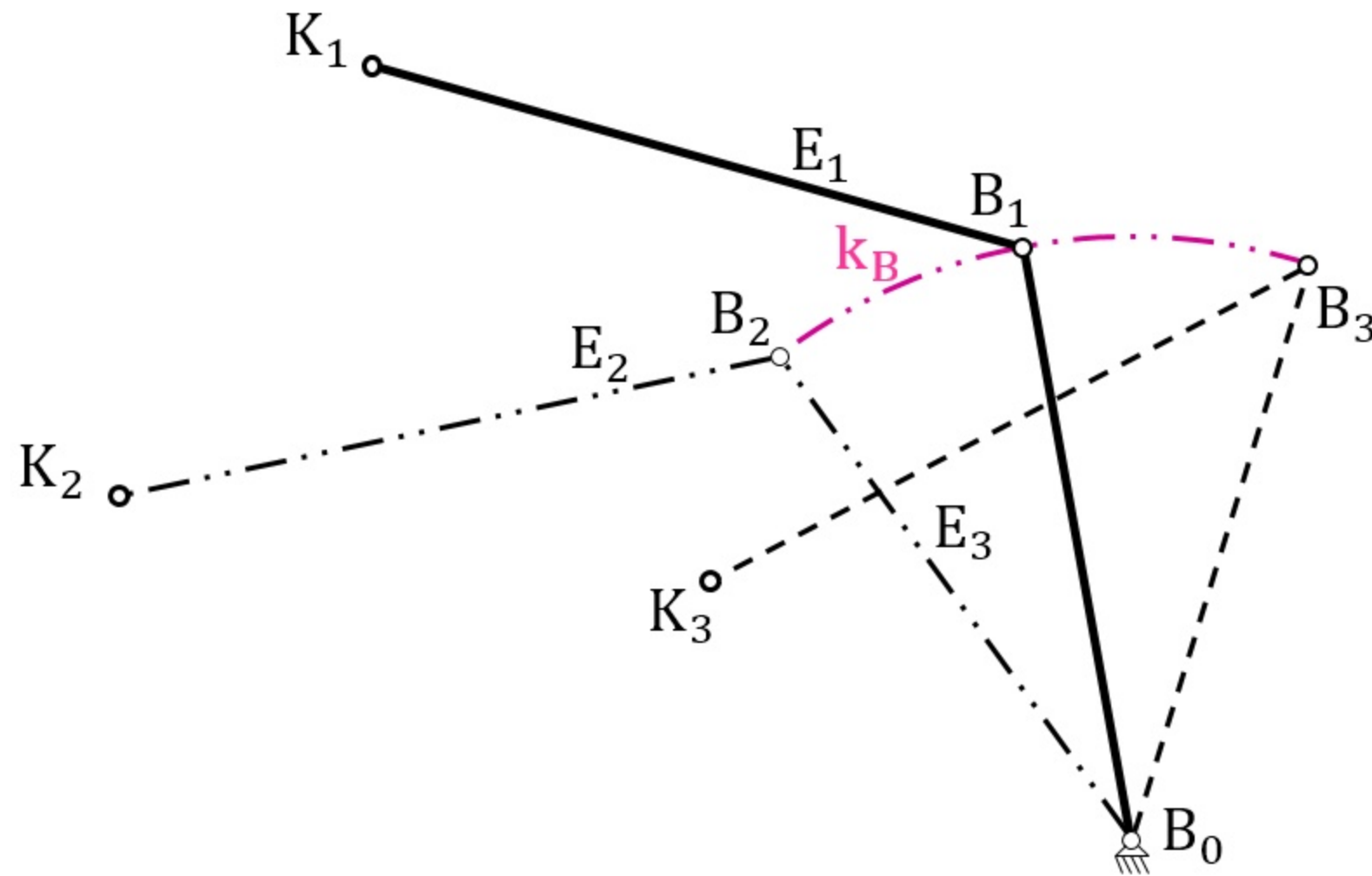


Bild 6.9 Drei-Punktlagen-Synthese mit Vorgabe des gestellfesten Drehpunktes A_0

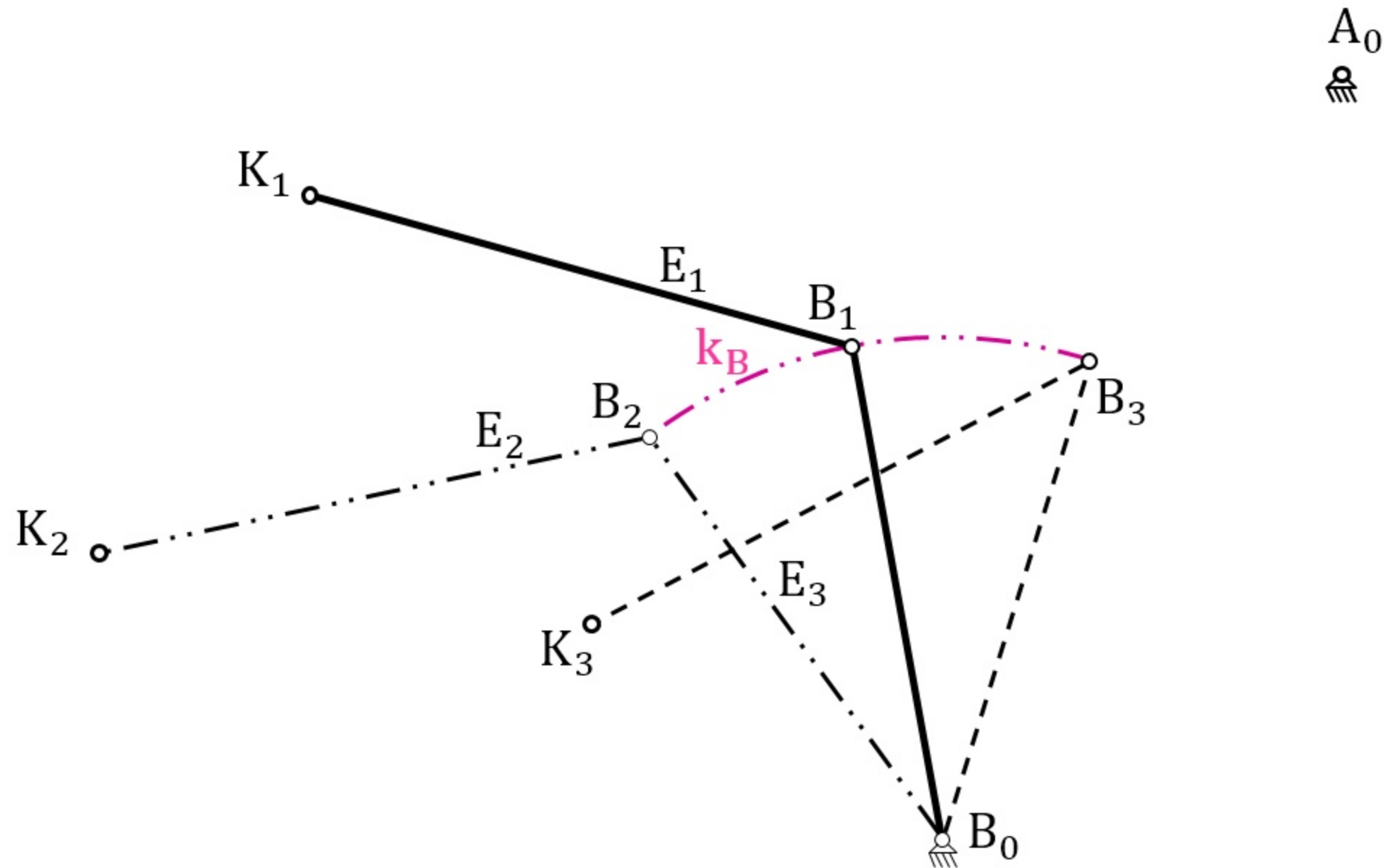



Bild 6.9 Drei-Punktlagen-Synthese mit Vorgabe des gestellfesten Drehpunktes A_0

Konstruktion in Lage 1 $\Rightarrow A_0 \equiv A_{0,1}^*$

$A_0 \equiv A_{0,1}^*$


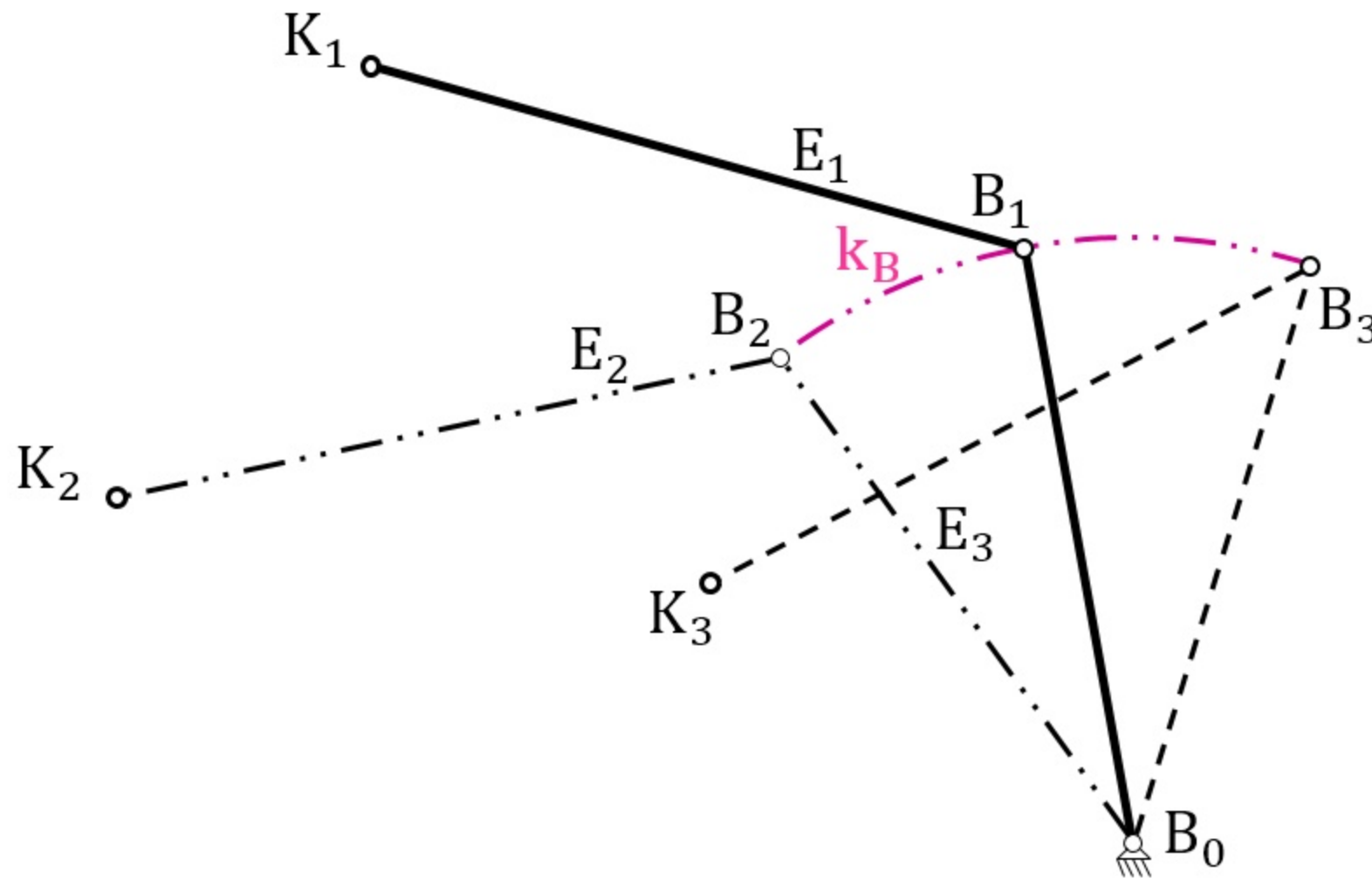


Bild 6.9 Drei-Punktlagen-Synthese mit Vorgabe des gestellfesten Drehpunktes A_0

Konstruktion in Lage 1 $\Rightarrow A_0 \equiv A_{0,1}^*$

$\Rightarrow \Delta K_2 B_2 A_0$

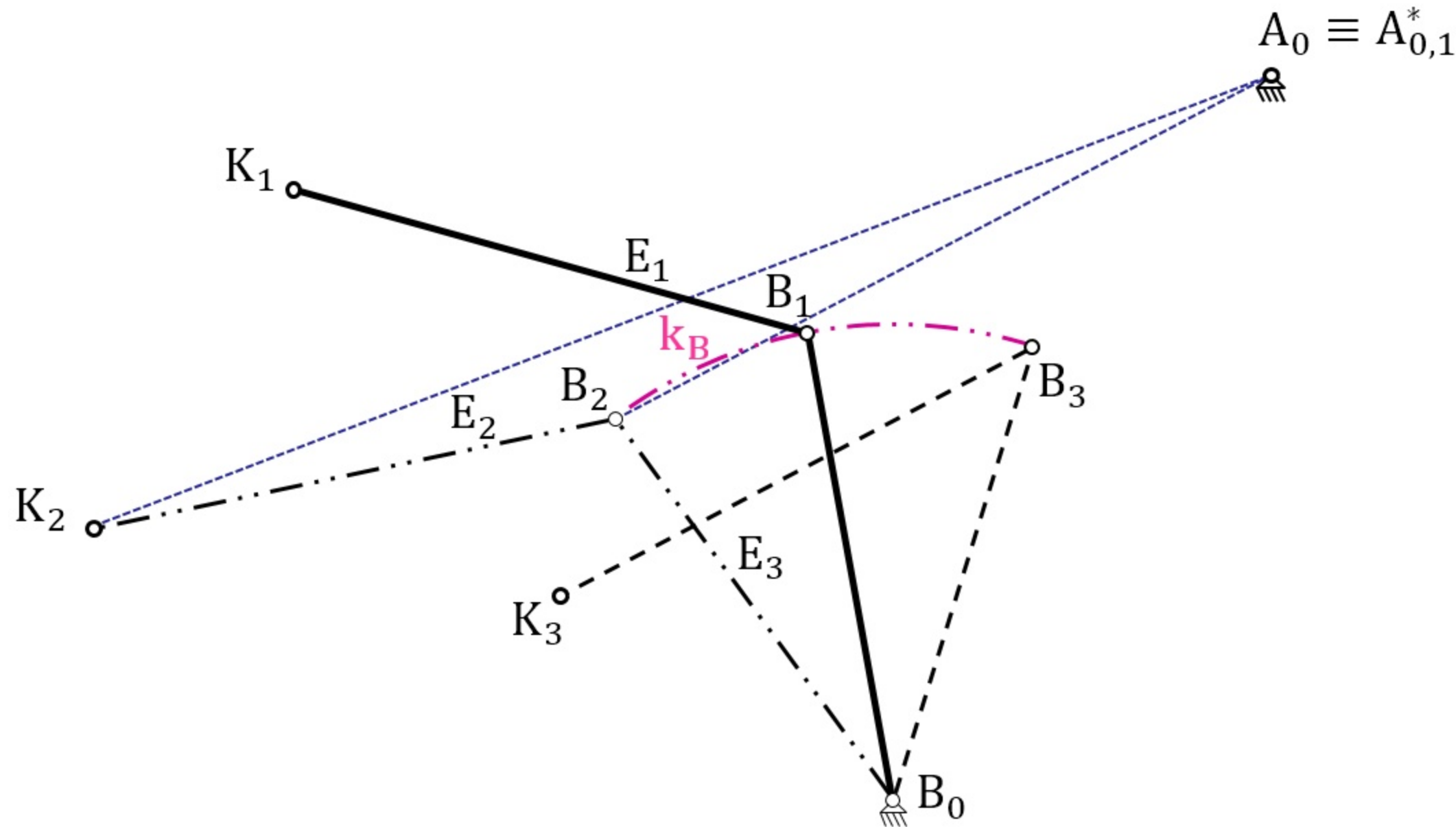


Bild 6.9 Drei-Punktlagen-Synthese mit Vorgabe des gestellfesten Drehpunktes A_0

Konstruktion in Lage 1 $\Rightarrow A_0 \equiv A_{0,1}^*$

$\Rightarrow \Delta K_2 B_2 A_0 \equiv \Delta K_1 B_1 A_{0,2}^*$

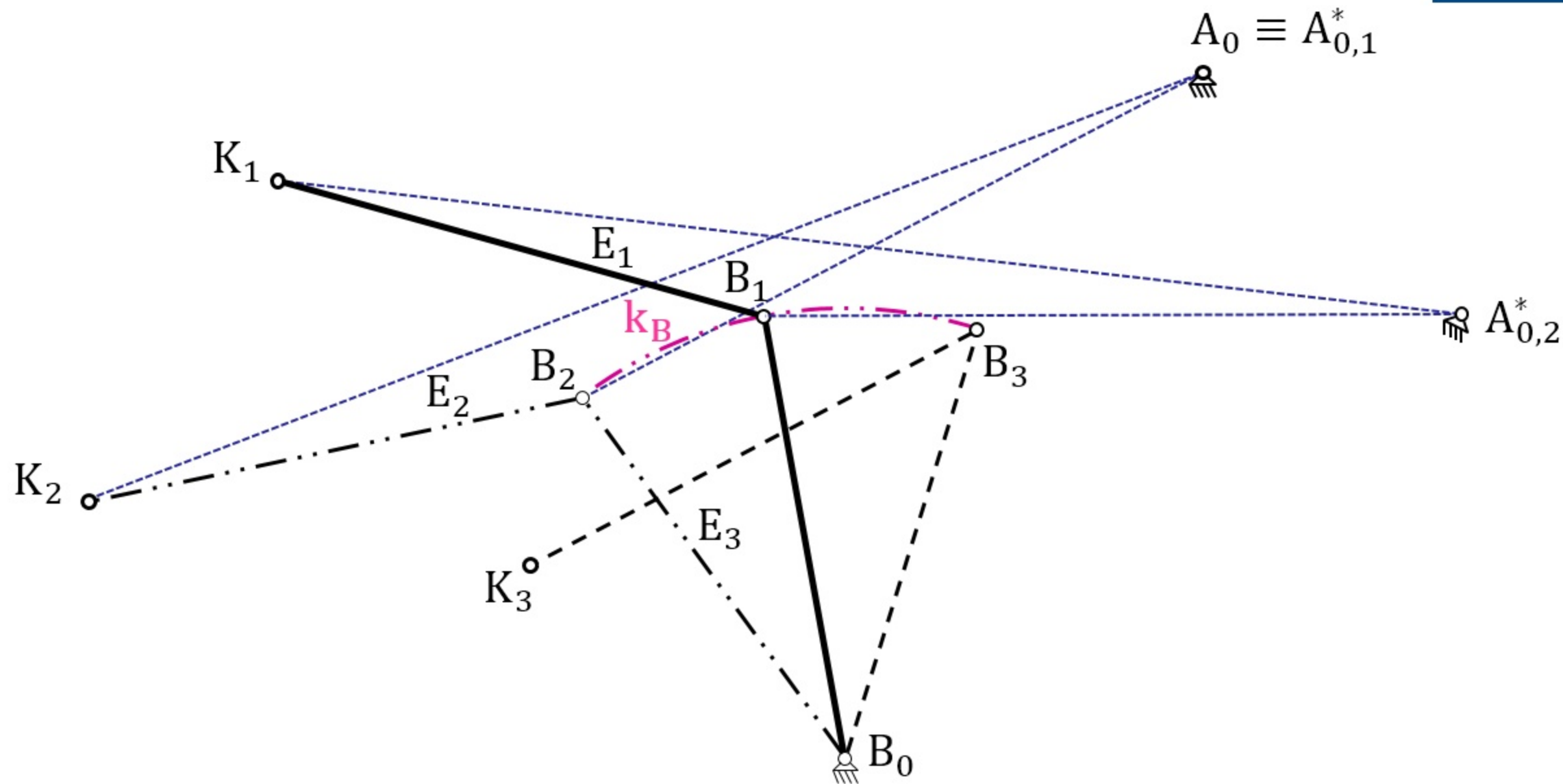


Bild 6.9 Drei-Punktlagen-Synthese mit Vorgabe des gestellfesten Drehpunktes A_0

Konstruktion in Lage 1 $\Rightarrow A_0 \equiv A_{0,1}^*$

$\Rightarrow \Delta K_2 B_2 A_0 \equiv \Delta K_1 B_1 A_{0,2}^*$

$\Rightarrow \Delta K_3 B_3 A_0$

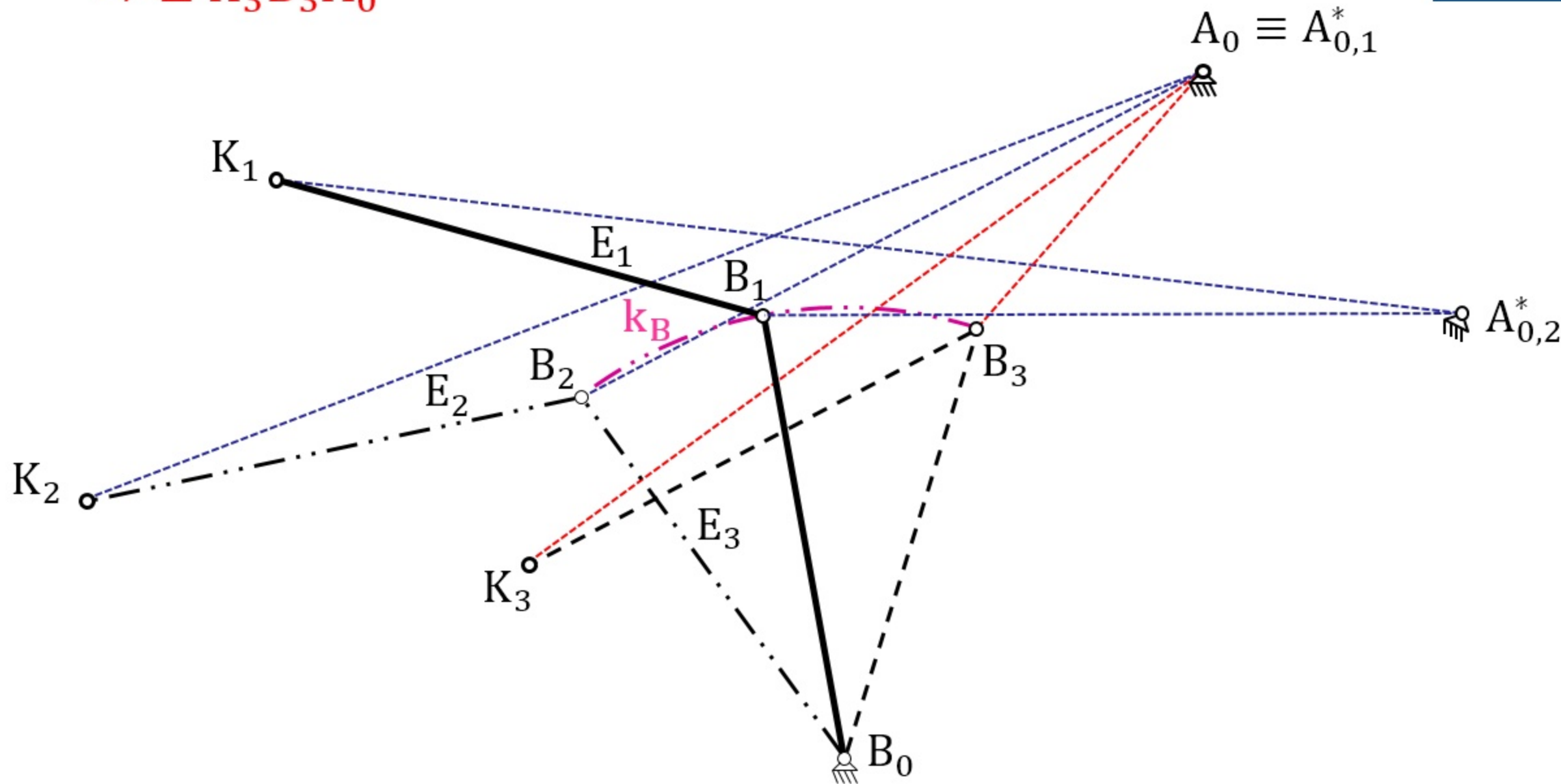


Bild 6.9 Drei-Punktlagen-Synthese mit Vorgabe des gestellfesten Drehpunktes A_0

Konstruktion in Lage 1 $\Rightarrow A_0 \equiv A_{0,1}^*$

$\Rightarrow \Delta K_2 B_2 A_0 \equiv \Delta K_1 B_1 A_{0,2}^*$

$\Rightarrow \Delta K_3 B_3 A_0 \equiv \Delta K_1 B_1 A_{0,3}^*$

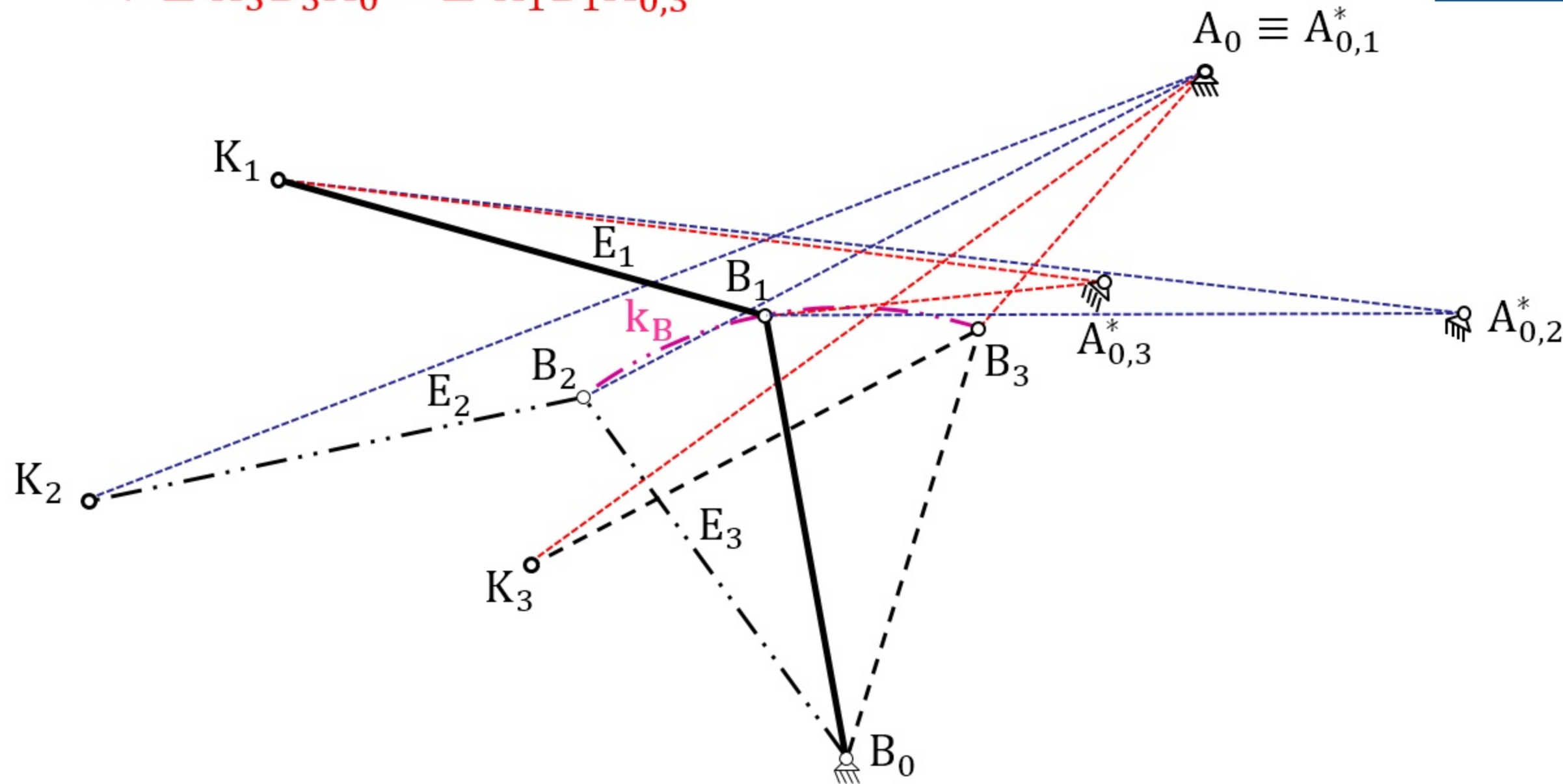


Bild 6.9 Drei-Punktlagen-Synthese mit Vorgabe des gestellfesten Drehpunktes A_0

Konstruktion in Lage 1 $\Rightarrow A_0 \equiv A_{0,1}^*$

$\Rightarrow \Delta K_2 B_2 A_0 \equiv \Delta K_1 B_1 A_{0,2}^*$

$\Rightarrow \Delta K_3 B_3 A_0 \equiv \Delta K_1 B_1 A_{0,3}^*$

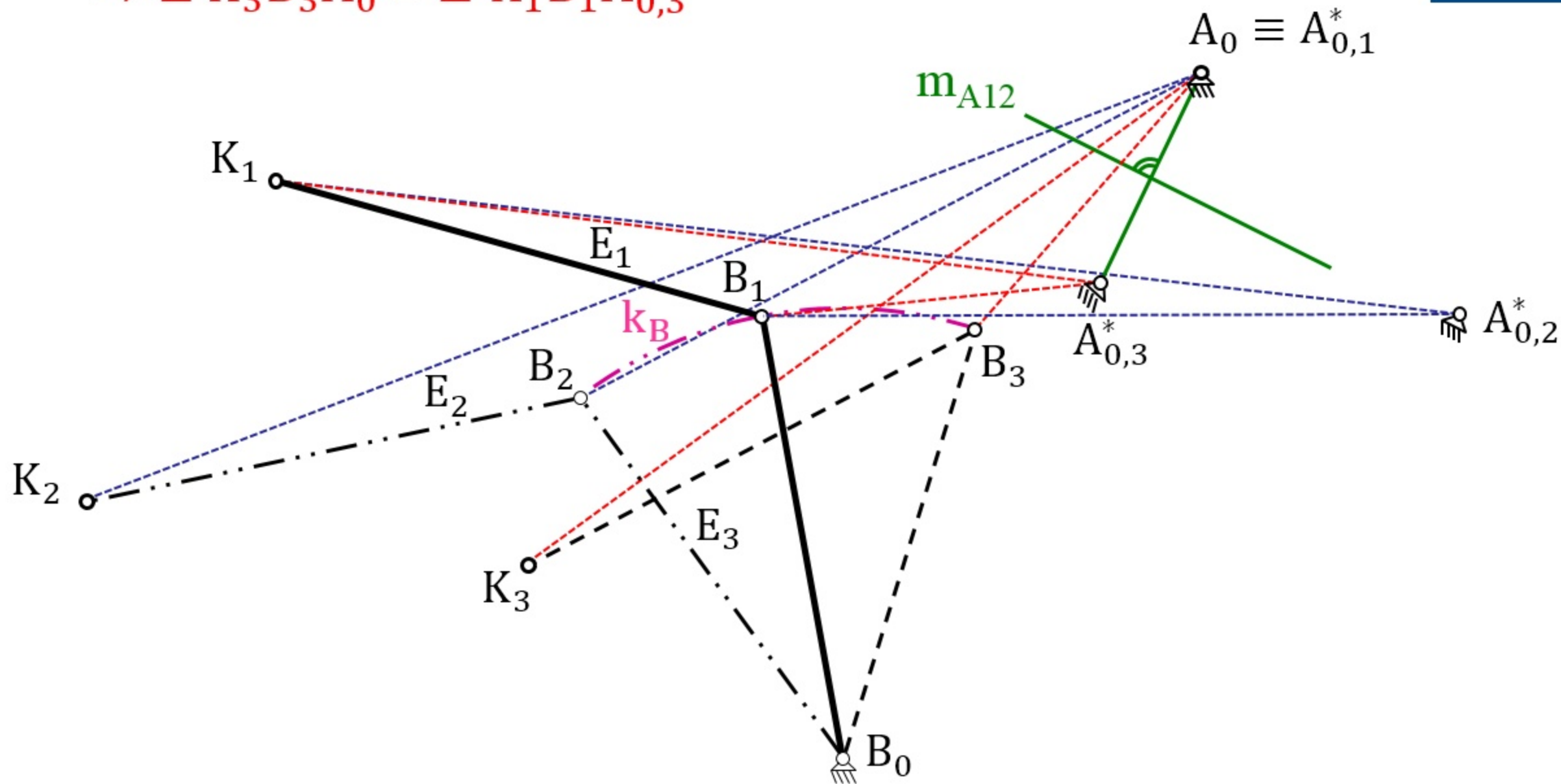


Bild 6.9 Drei-Punktlagen-Synthese mit Vorgabe des gestellfesten Drehpunktes A_0

Konstruktion in Lage 1 $\Rightarrow A_0 \equiv A_{0,1}^*$

$\Rightarrow \Delta K_2 B_2 A_0 \equiv \Delta K_1 B_1 A_{0,2}^*$

$\Rightarrow \Delta K_3 B_3 A_0 \equiv \Delta K_1 B_1 A_{0,3}^*$

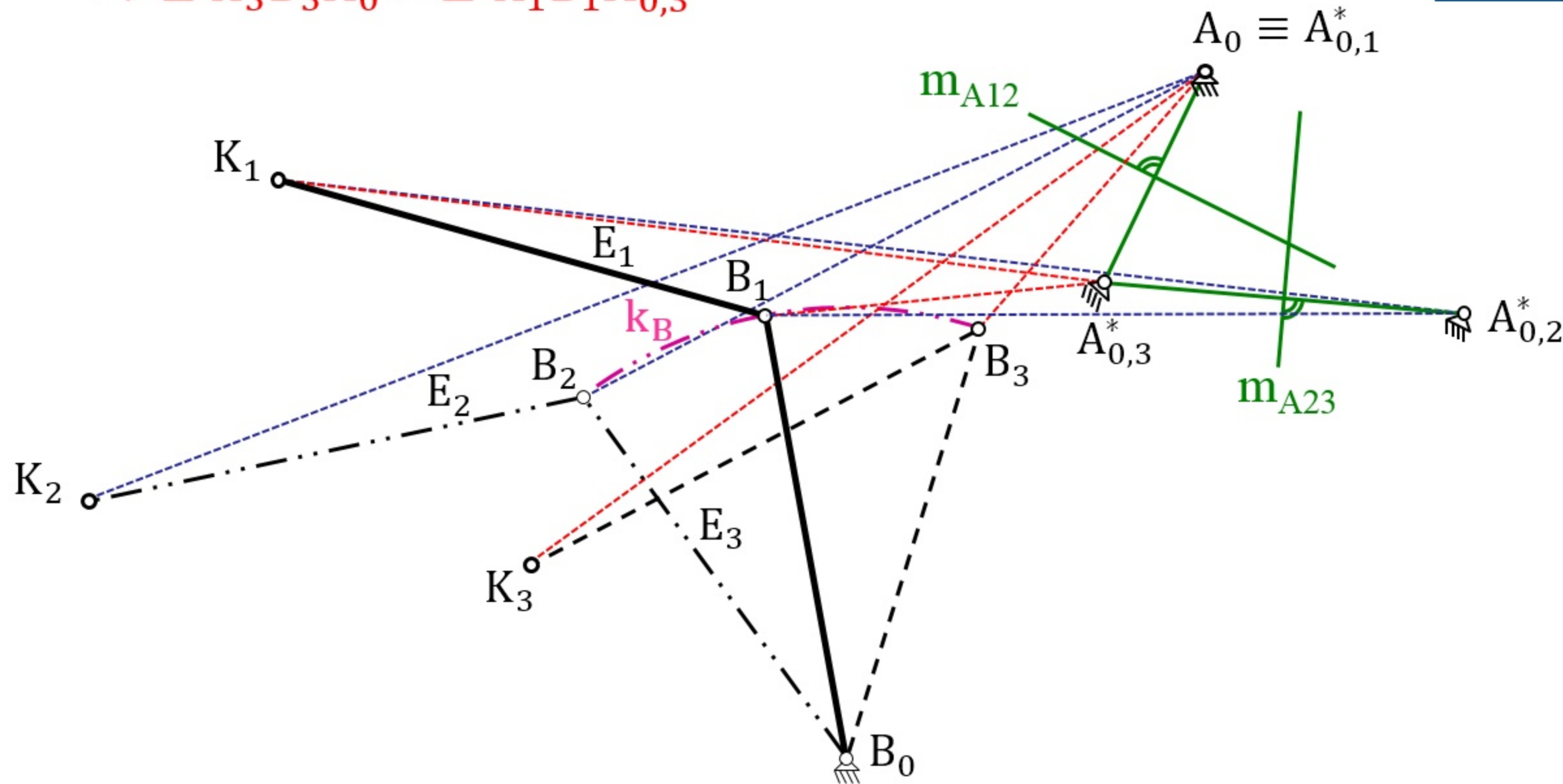


Bild 6.9 Drei-Punktlagen-Synthese mit Vorgabe des gestellfesten Drehpunktes A_0

Konstruktion in Lage 1 $\Rightarrow A_0 \equiv A_{0,1}^*$

$\Rightarrow \Delta K_2 B_2 A_0 \equiv \Delta K_1 B_1 A_{0,2}^*$

$\Rightarrow \Delta K_3 B_3 A_0 \equiv \Delta K_1 B_1 A_{0,3}^*$

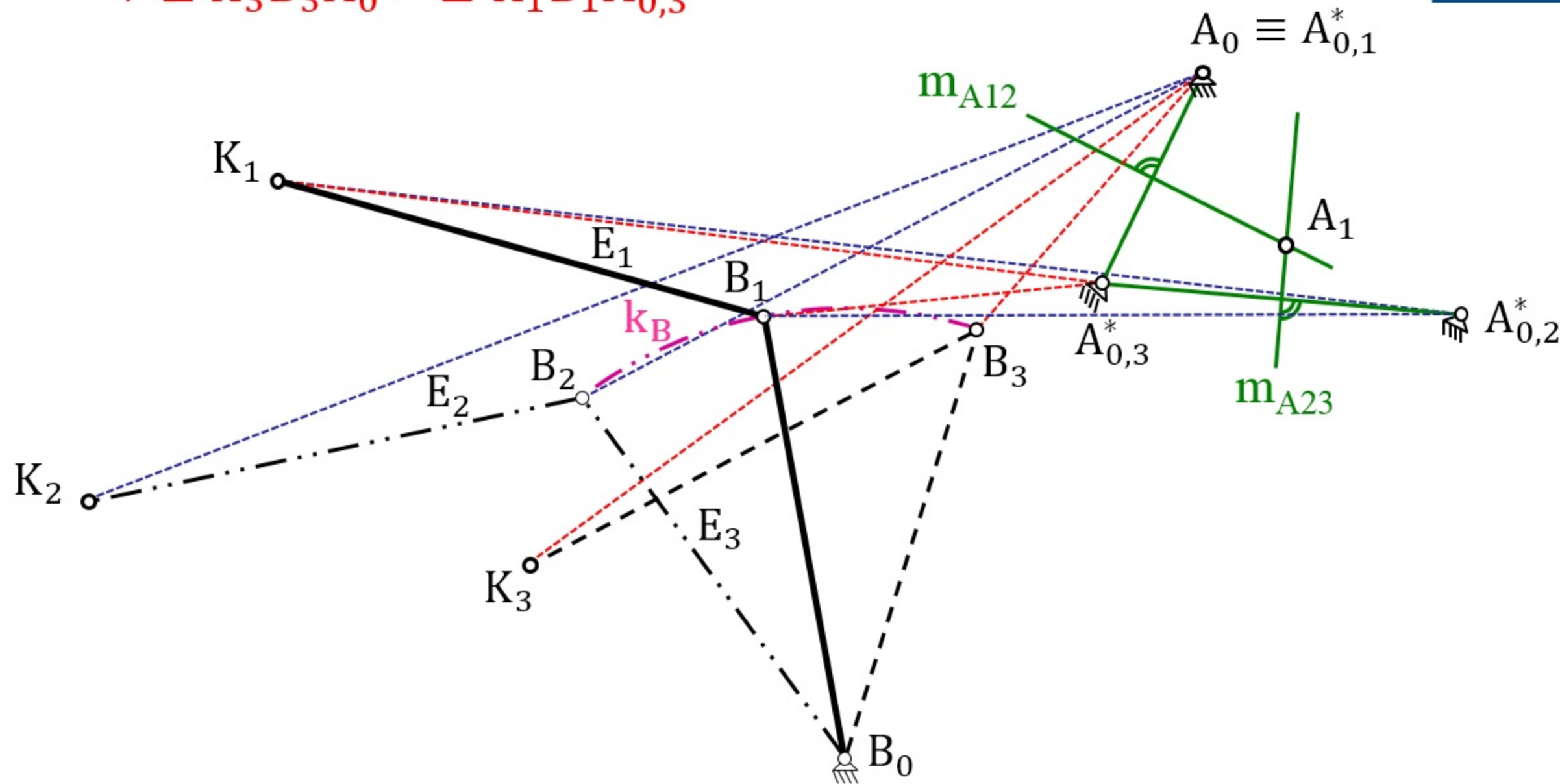


Bild 6.9 Drei-Punktlagen-Synthese mit Vorgabe des gestellfesten Drehpunktes A_0

Konstruktion in Lage 1 $\Rightarrow A_0 \equiv A_{0,1}^*$

$\Rightarrow \Delta K_2 B_2 A_0 \equiv \Delta K_1 B_1 A_{0,2}^*$

$\Rightarrow \Delta K_3 B_3 A_0 \equiv \Delta K_1 B_1 A_{0,3}^*$

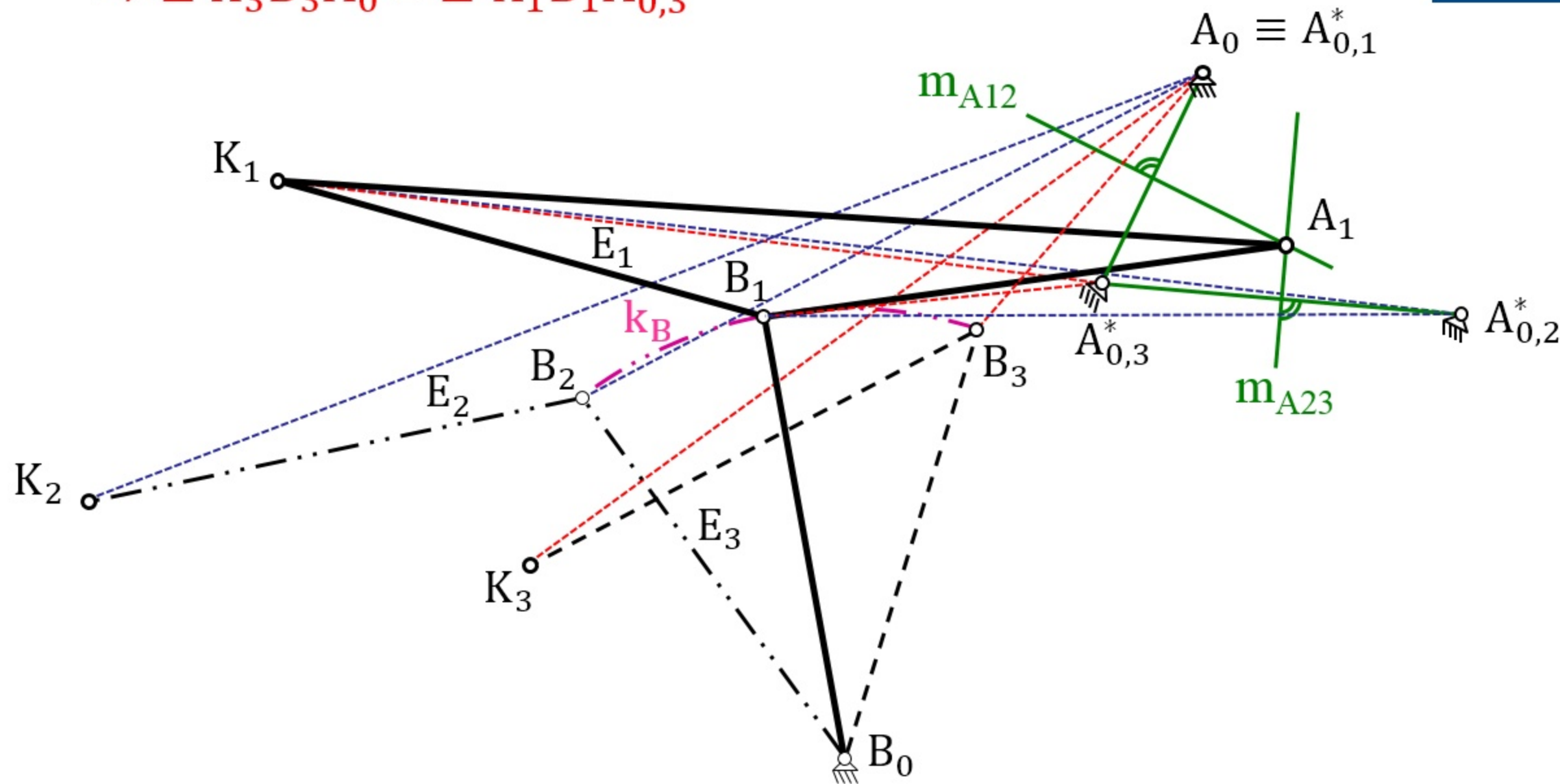


Bild 6.9 Drei-Punktlagen-Synthese mit Vorgabe des gestellfesten Drehpunktes A_0

Konstruktion in Lage 1 $\Rightarrow A_0 \equiv A_{0,1}^*$

$\Rightarrow \Delta K_2 B_2 A_0 \equiv \Delta K_1 B_1 A_{0,2}^*$

$\Rightarrow \Delta K_3 B_3 A_0 \equiv \Delta K_1 B_1 A_{0,3}^*$

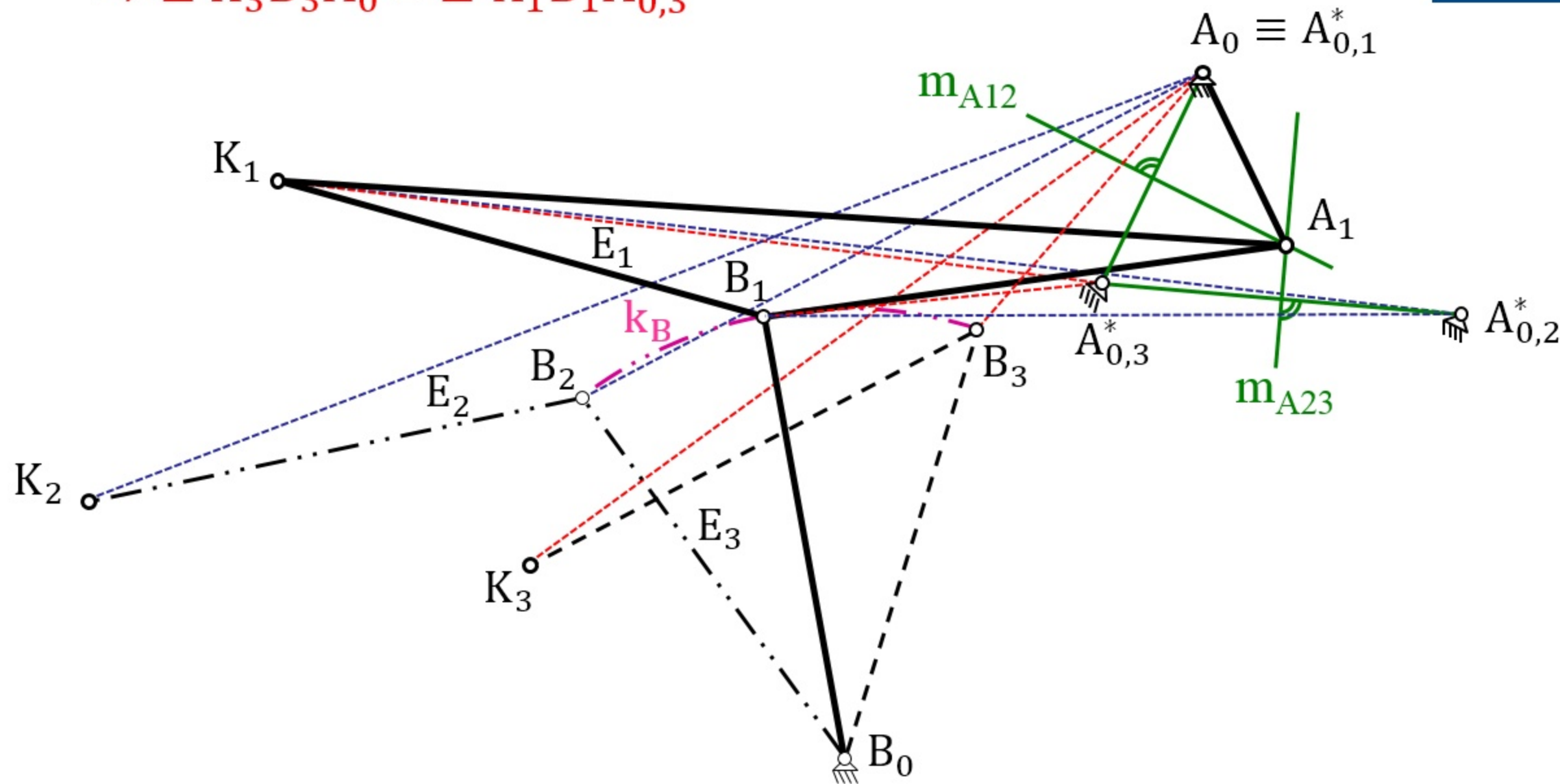


Bild 6.9 Drei-Punktlagen-Synthese mit Vorgabe des gestellfesten Drehpunktes A_0